

为逐次逼近型 ADC 设计可靠的数字接口

作者: Steven Xie

简介

逐次逼近型模数转换器（因其逐次逼近型寄存器而称为 SAR ADC）广泛应用于要求最高 18 位分辨率和最高 5 MSPS 速率的应用中。其优势包括尺寸小、功耗低、无流水线延迟和易用。

主机处理器可以通过多种串行和并行接口（如 SPI、I²C 和 LVDS）访问或控制 ADC。本文将讨论打造可靠、完整数字接口的设计技术，包括数字电源电平和序列、启动期间的 I/O 状态、接口时序、信号质量以及数字活动导致的误差。

数字 I/O 电源电平和序列

多数 SAR ADC 都提供独立的数字 I/O 电源输入 (V_{IO} 或 V_{DRIVE})，后者决定接口的工作电压和逻辑兼容性。此引脚应与主机接口 (MCU、DSP 或 FPGA) 电源具有相同的电压。数字输入一般应在 $DGND - 0.3\text{ V}$ 与 $V_{IO} + 0.3\text{ V}$ 之间，以避免违反绝对最大额定值。须在 V_{IO} 引脚与 $DGND$ 之间连接走线短的去耦电容。

采用多个电源的 ADC 可能拥有明确的上电序列。应用笔记 AN-932 《电源时序控制》为这些 ADC 电源的设计提供了良好的参考。为了避免正向偏置 ESD 二极管，避免数字内核加电时处于未知状态，要在接口电路前打开 I/O 电源。模拟电源通常在 I/O 电源之前加电，但并非所有 ADC 均是如此。请参阅并遵循数据手册中的内容，确保序列正确。

启动期间的数字 I/O 状态

为了确保初始化正确无误，有些 SAR ADC 要求处于某些逻辑状态或序列，以实现复位、待机或关断等数字功能。在所有电源都稳定之后，应施加指定脉冲或组合，以确保 ADC 启动时的状态符合预期。例如，一个高脉冲在 RESET 上持续至少 50 ns，这是配置 AD7606 使其在上电后能正常运行所必须具备的条件。

在所有电源均完全建立之前，不得切换数字引脚。对于 SAR ADC，转换开始引脚 CNVST 可能对噪声敏感。在图 1 所示示例中，当 AV_{CC} 、 DV_{CC} 和 V_{DRIVE} 仍在上升时，主机 cPLD 拉高 \overline{CNVST} 。这可能使 AD7367 进入未知状态，因此，在电源完全建立之前，主机应使 \overline{CNVST} 保持低电平。

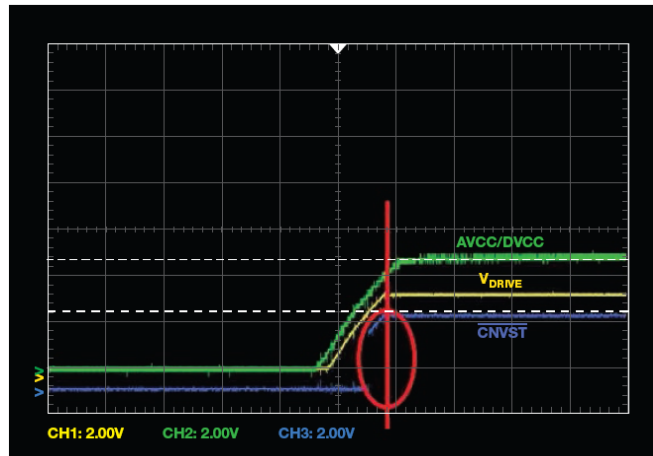


图 1. 在电源上升时拉高 \overline{CNVST} 可能导致未知状态。

数字接口时序

转换完成之后，主机可以通过串行或并行接口读取数据。为了正确读取数据，须遵循特定的时序策略，比如，SPI 总线需要采用哪种模式等。不得违反数字接口时序规范，尤其是 ADC 和主机的建立和保持时间。最大比特率取决于整个循环，而不仅仅是最小额定时钟周期。图 2 和下列等式展示了如何计算建立和保持时间裕量。主机把时钟发送至 ADC 并读取 ADC 输出的数据。

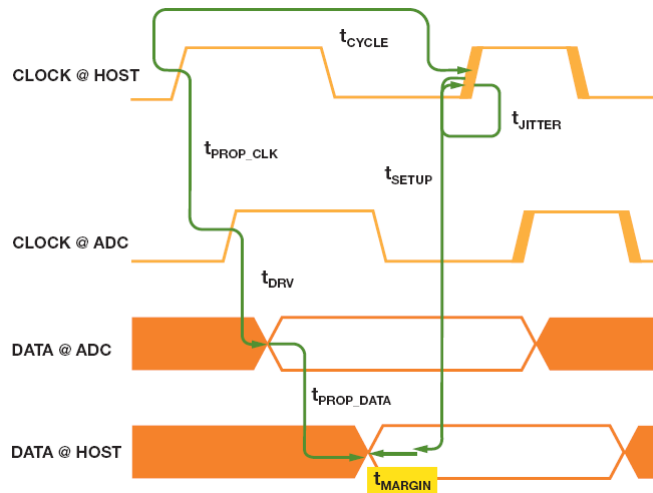


图 2. 建立和保持时序裕量。

$$t_{CYCLE} = t_{JITTER} + t_{SETUP} + t_{PROP_DATA} + t_{PROP_CLK} + t_{DRV} + t_{MARGIN}$$

t_{CYCLE} : 时钟周期 = $1/f_{CLOCK}$

t_{JITTER} : 时钟抖动

t_{SETUP} : 主机建立时间

t_{HOLD} : 主机保持时间

t_{PROP_DATA} : 从 ADC 到主机的传输线路的数据传播延迟

t_{PROP_CLK} : 从主机到 ADC 的传输线路的数据传播延迟

t_{DRV} : 时钟上升/下降沿后的数据输出有效时间

t_{MARGIN} : 裕量时间大于等于 0 表示达到建立时间或保持时间要求, 小于 0 表示未达到建立时间或保持时间要求。

主机建立时间裕量

$$t_{MARGIN_SETUP} = t_{CYCLE, MIN} - t_{JITTER} - t_{SETUP} - t_{PROP_DATA} - t_{PROP_CLK} - t_{DRV, MAX}$$

建立时间等式以最大系统延迟项定义最小时钟周期时间或最大频率。要达到时序规格, 必须大于等于 0。提高周期(降低时钟频率)以解决系统延迟过大问题。对于缓冲器、电平转换器、隔离器或总线上的其他额外元件, 把额外延迟加入 t_{PROP_CLK} 和 t_{PROP_DATA} 。

类似地, 主机的保持时间裕量为

$$t_{MARGIN_HOLD} = t_{PROP_DATA} + t_{PROP_CLK} + t_{DRV} - t_{JITTER} - t_{HOLD}$$

保持时间等式规定了最小系统延迟要求, 以避免因违反保持时间要求而出现逻辑错误。要达到时序规格, 必须大于等于 0。

ADI 公司带 SPI 接口的许多 SAR ADC 都是从 \overline{CS} 或 CNV 的下降沿为 MSB 提供时钟信号, 剩余的数据位则跟随 SCLK 的下降沿, 如图 3 所示。在读取 MSB 数据时, 要使用等式中的 t_{EN} 而非 t_{DRV} 。

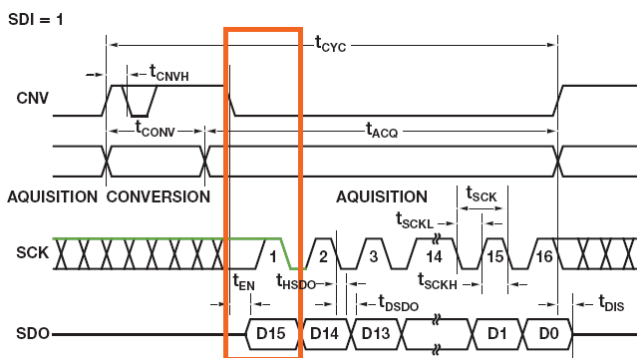


图 3. AD7980 3 线 \overline{CS} 模式下的 SPI 时序。

因此, 除了最大时钟速率以外, 数字接口的最大工作速率也取决于建立时间、保持时间、数据输出有效时间、传播延迟和时钟抖动。

在图 4 中, DSP 主机访问 AD7980 处于 3 线 \overline{CS} 模式下, 其中, $V_{IO} = 3.3\text{ V}$ 。DSP 锁存 SCLK 下降沿上的 SDO 信号。DSP 的额定最小建立时间为 5 ns, 最小保持时间为 2 ns。对于典型的 FR-4PCB 板, 传播延迟约为 180 ps/in。缓冲器的传播延迟为 5 ns。CNV、SCLK 和 SDO 的总传播延迟为

$$t_{PROP} = 180\text{ ps/in} \times (9\text{ in} + 3\text{ in}) + 5\text{ ns} = 7\text{ ns}$$

$t_{JITTER} = 1\text{ ns}$ 。主机 SCLK 的工作频率为 30 MHz, 因此, $t_{CYCLE} = 33\text{ ns}$ 。

$$t_{SETUP_MARGIN} = 33\text{ ns} - 1\text{ ns} - 5\text{ ns} - 7\text{ ns} - 11\text{ ns} - 7\text{ ns} = 2\text{ ns}$$

$$t_{HOLD_MARGIN} = 11\text{ ns} + 7\text{ ns} + 7\text{ ns} - 1\text{ ns} - 2\text{ ns} = 22\text{ ns}$$

建立时间和保持时间裕量均为正, 因此, SPI SCLK 可以在 30 MHz 下工作。

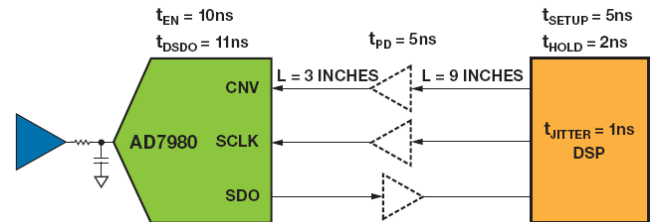
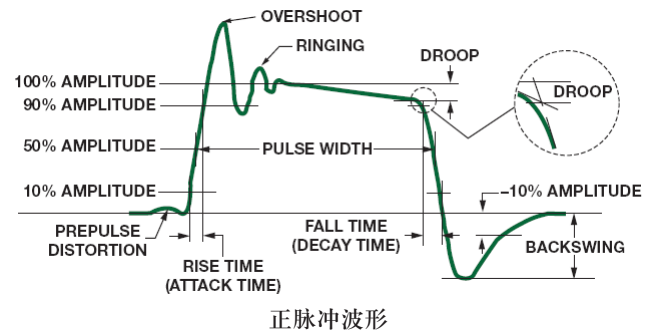


图 4. DSP 和 AD7980 之间的数字接口。

数字信号质量

数字信号完整性(包括时序和信号质量)确保: 在额定电压下接收信号; 不相互干扰; 不损坏其他器件; 不污染电磁频谱。信号质量由多个项定义, 如图 5 所示。本部分将介绍过冲、振铃、反射和串扰。



正脉冲波形

图 5. 常用信号质量规格。

反射是阻抗不匹配导致的结果。当信号沿着走线传播时, 每个接口处的瞬时阻抗都不相同。部分信号会反射回去, 部分信号会继续沿着线路传播。反射可能在接收器端产生过冲、欠冲、振铃和非单调性时钟边沿。

过冲和欠冲可能损坏输入保护电路, 或者缩短 IC 的使用寿命。图 6 所示为 AD7606 的绝对最大额定值。数字输入电压应在 -0.3 V 和 $V_{DRIVE} + 0.3\text{ V}$ 之间。另外, 如果振铃高于最大 V_{IL} 或小于最小 V_{IH} 可能导致逻辑误差。

绝对最大额定值
除非另有说明, $T_A = 25^\circ\text{C}$ 。

参数	额定值
AV_{CC} 至 AGND	-0.3 V 至 $+7\text{ V}$
V_{DRIVE} 至 AGND	-0.3 V 至 $AV_{CC} + 0.3\text{ V}$
模拟输入电压至 AGND	$\pm 16.5\text{ V}$
数字输入电压至 DGND	-0.3 V 至 $V_{DRIVE} + 0.3\text{ V}$
数字输出电压至 GND	-0.3 V 至 $V_{DRIVE} + 0.3\text{ V}$
REFIN 至 AGND	-0.3 V 至 $AV_{CC} + 0.3\text{ V}$
输入电流至任何引脚(电源引脚除外)	$\pm 10\text{ mA}$

图 6. AD7606 的绝对最大额定值。

为了减少反射：

- 尽量缩短走线的长度
- 控制走线的特性阻抗
- 消除分支
- 使用适当的端接方案
- 用环路面积小的固体金属作为返回电流参考平面
- 使用较低的驱动电流和压摆率

针对走线特性阻抗的计算，目前有许多软件工具或网站，比如 Polar Instruments Si9000 PCB 传输线路场求解器。借助这些工具，特性阻抗计算起来非常简单，只需选择传输线路型号并设置相应的参数即可，比如电介质类型和厚度以及走线宽度、厚度和隔离。

作为一种新兴标准，IBIS 用于描述 IC 数字 I/O 的模拟行为。ADI 提供针对 SAR ADC 的 IBIS 模型。预布局仿真可检测时钟分布、芯片封装类型、电路板堆叠、网络拓扑结构和端接策略。也可检测串行接口时序限制以便为定位和布局提供指导。后仿真可验证设计是否符合所有指导方针和限制的要求，同时检测是否存在反射、振铃、串扰等违反要求的情况。

在图 7 中，一个驱动器通过一条 12 英寸的微带线路连接 SCLK1，另一个驱动器通过一个与微带串联的 43 Ω 电阻连接 SCLK2。

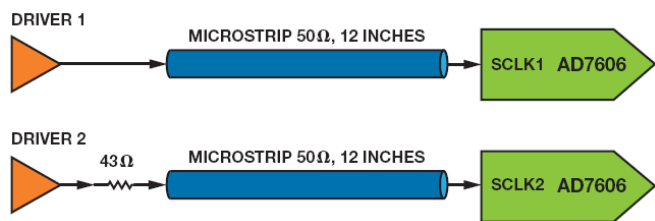


图 7. 驱动 AD7606 SCLK。

在图 8 中，SCLK1 上的大过冲违反了 -0.3 V 至 +3.6 V 的绝对最大额定值。串联电阻可减小 SCLK2 上的压摆率，使信号处于额定值之内。

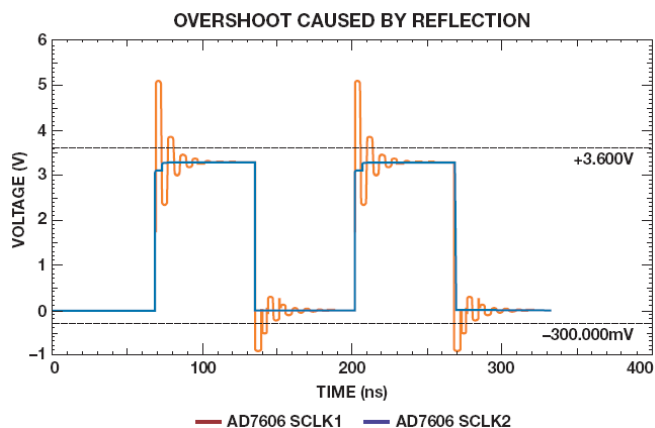


图 8. AD7606 IBIS 过冲模型仿真。

串扰是能量通过互电容（电场）或互感（磁场）在并行传输线路间耦合的情况。串扰量取决于信号的上升时间、并行线路的长度以及它们之间的间距。

控制串扰的一些常用方法为：

- 增加线路间距
- 减小并行布线
- 使走线靠近参考金属平面
- 使用适当的端接方案
- 减小信号压摆率

数字活动导致的性能下降

数字活动可能导致 SAR ADC 性能下降，使 SNR 因数字地或电源噪声、采样时钟抖动和数字信号干扰而减小。

孔径或采样时钟抖动设定 SNR 限值，尤其是对高频输入信号。系统抖动有两个来源：来自片内采样保持电路的孔径抖动（内部抖动），以及采样时钟上的抖动（外部抖动）。孔径抖动为转换间的采样时间变化，为 ADC 的函数。采样时钟抖动通常为主要的误差源，但两个源都会导致模拟输入采样时间变化，如图 9 所示。它们的影响难以区分。

总抖动会产生误差电压，ADC 总 SNR 的限制因素为

$$\text{SNR} = 20 \log_{10} \left[\frac{1}{2 \pi f t_j} \right]$$

$$\text{总抖动} = t_j (\text{rms}),$$

$$\text{总抖动} = \sqrt{(\text{ADC 孔径抖动})^2 + (\text{采样时钟抖动})^2}$$

其中， f 为模拟输入频率， t_j 为总时钟抖动。

例如，当模拟输入为 10 kHz，总抖动为 1 ns 时，SNR 限值为 84 dB。

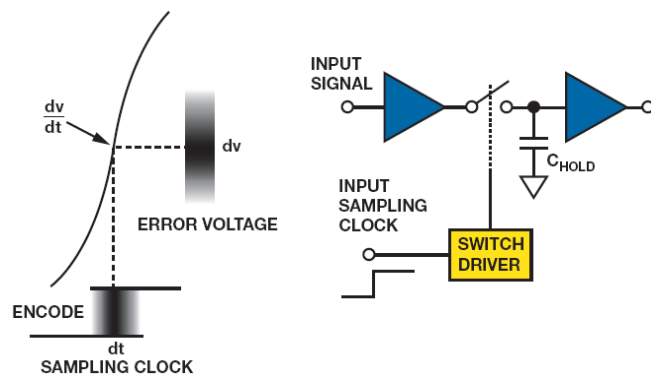


图 9. 采样时钟抖动导致的误差电压。

数字输出开关导致的电源噪声应与敏感的模拟电源相隔离。分别去耦模拟和数字电源，密切注意地回路路径。

高精度 SAR ADC 可能对数字接口上的活动很敏感,即使电源适当去耦和隔离时。突发时钟往往优于连续时钟。数据手册通常会列出接口不应活动的安静时间。在较高吞吐速率条件下,可能难以减少这些时间内的数字活动,通常为采样时刻及出现关键位判断点时。

结论

密切注意数字活动,确保 SAR ADC 转换有效。数字活动导致的误差可能使 SAR ADC 进入未知状态,导致故障,或者降低性能。希望本文能帮助设计师排查根本原因,同时还能提供解决方案。

参考文献

Kester, Walt. “数据转换器支持电路,”《数据转换手册》,第 7 章,ADI 公司,2004 年。

Brad Brannon, AN-756 应用笔记. *采样系统以及时钟相位噪声和抖动的影*响, ADI 公司, 2004 年。

Ritchey, Lee W. 《一举成功: 高速 PCB 和系统实用设计手册》, 第 1 卷, Speeding Edge, 2003 年。

Usach, Miguel. AN-1248 应用笔记. *SPI 接口*, ADI 公司, 2013 年。

Casamayor, Mercedes. AN-715 应用笔记: *走近 IBIS 模型: 什么是 IBIS 模型? 它们是如何生成的?* ADI 公司, 2004 年。



Steven Xie [steven.xie@analog.com]于 2011 年加入 ADI 北京分公司,是中国设计中心的一名 ADC 应用工程师。他负责中国市场 SAR ADC 产品的技术支持工作。在此之前,他曾在 Ericsson CDMA 团队做过四年的硬件设计人员。2007 年, Steven 毕业于北京航空航天大学,并获得通信与信息系统硕士学位。



Steven Xie

该作者的其他文章:

[逐次逼近型 ADC: 确保首次转换有效](#)
第47卷, 第4期